

## شبیه‌سازی عددی و تحلیل مبدل‌های حرارتی صفحه‌ای شیاردار جهت استئار حرارتی سازه‌های مدفون

حسن رادمرد<sup>\*</sup>، علی شریفی<sup>۲</sup>، محمود سالاری<sup>۳</sup>

۱- مریبی، دانشگاه افسری امام حسین (ع)، ۲- کارشناسی ارشد، ۳- دانشیار، دانشگاه جامع امام حسین (ع)

(دریافت: ۹۵/۰۲/۱۴، پذیرش: ۹۵/۱۰/۲۲)

### چکیده

گزارش‌ها نشان می‌دهند اختلاف دمای حدود ۲ تا ۸ درجه سلسیوس هواخی خروجی از سازه‌های مدفون با محیط اطراف توسط حسگرهای مادون قرمز حرارتی دشمن قابل شناسایی است. در این مقاله با هدف استئار حرارتی یا حداقل مشکل کردن شناسایی سازه امن مدفون توسط این سامانه‌ها، ایده استفاده از مبدل حرارتی هوا به هوا جهت هم دما سازی هوا اگزاست سازه امن با محیط خارج مطرح و یک نمونه مبدل هوا به هوای شیاردار تحلیل و طراحی شده است. در تحقیق حاضر ابتدا به فرمولاسیون و تحلیل این مبدل‌ها پرداخته شده آنگاه با کدنویسی در نرم‌افزار متلب و با هدف دستیابی به حداکثر انتقال حرارت و حداقل افت فشار، زاویه شیار و تعداد صفحات بهینه مبدل تعیین شده است. در ادامه تأثیر جنس صفحات بر میزان انتقال حرارت و مقاومت در برابر تغییر شکل نیز توسط نرم‌افزار ANSYS بررسی شده است. آنگاه اطلاعات هندسی به دست آمده از حل تحلیلی، در نرم‌افزار ASPEN شبیه‌سازی و تحلیل شده است. روند حل تحلیلی و هندسه به دست آمده با مقالات معتبر مورد اعتبارسنجی قرار گرفته و صحت نتایج تأیید شده است. درنهایت در یک مطالعه موردی ضمن لحاظ کردن محدودیت‌ها، مبدل لازم طراحی شده و نتایج نشان می‌دهند که برای استئار حرارتی یک سازه امن مدفون با اگزاست ۱۰۰۰۰ cfm و دمای ۲۲ °C به محیطی با دمای ۲۰ °C- یک مبدل صفحه‌ای فولادی ۱۶۱ صفحه‌ای با زاویه شیار ۴۵ و ارتفاع ۲ متر نیاز است.

**کلیدواژه‌ها:** استئار حرارتی، سازه امن مدفون، مبدل حرارتی صفحه‌ای شیاردار

## Numerical Simulation and Analysis of Chevron Type Heat Exchangers for Thermal Camouflage of Buried Structures

H. Radmard\*, A. Sharifi, M. Salari

Imam Hossein University

(Received: 03/05/2016; Accepted: 11/01/2017)

### Abstract

The reports have shown that the existed thermal I.R sensors are able to sense the temperature difference 2°C to 8 °C between buried spaces exhaust air and ambient with a good accuracy. In this paper, in order to minimize the probability of identifying safe buried structures by spy satellites and increasing their thermal camouflage, a plate heat exchanger for reducing the temperature of the exhaust air of buildings to ambient temperature is proposed. The technical specification of the proposed chevron type heat exchanger is determined based on the traditional design approaches. A MATLAB program code is developed for analysis of these heat exchangers and finding the optimized angle of grooves and estimating number of plates. The ANSYS software is also used to analysis the effects of plate materials on total heat transfer and their strength to deformation. Then the designed heat exchanger, under the same operating conditions with the analytical approach, is analyzed again by the ASPEN software. The analytical solutions and the numerical results were validated with approved results reported in the literature and a good consistency was observed. Finally as a case study, the groove angles, required number of plates and other geometrically data is calculated for a heat exchanger of a safe buried structure. The results showed that a plate heat exchanger, made by 161 stainless steel plates with 2m in height and 45 degrees groove angle, is needed for thermal camouflage of a safe buried building with 10000 CFM exhaust air at 22°C to an ambient at -20°C.

**Keywords:** Thermal Camouflage, Buried Safe Structures, Chevron Type Heat Exchanger

\* Corresponding Author E-mail: Hassan.radmard@gmail.com

Advanced Defence Sci. & Tech. 2017, 10, 223-233.

صفحه‌ای از نوع شیاردار<sup>۲</sup>، به دلیل بازده بالای حرارتی و انعطاف‌پذیری و سهولت تمیزکاری در عملیات‌های سرمایش، گرمایش و بازیافت انرژی در صنایع شیمیایی، غذایی و داروسازی بسیار پر کاربرد است [۳]. مطالعات تجربی گستره‌های روی انتقال حرارت مبدل‌های صفحه‌ای از نوع شیاردار به عمل آمده است. فوک و همکارانش [۴]، مطالعاتی بر روی اثر زوایای شیارهای صفحات مبدل و عملکرد هیدرولیک حرارتی انجام داد. وی در آزمایش خود برای هفت زاویه متفاوت (۰°، ۳۰°، ۴۵°، ۶۰°، ۷۲°، ۸۰° و ۹۰° درجه) در اعداد رینولدز بین ۱۰۰ تا ۱۰۰۰۰ مشاهده نمود که تغییر زاویه شیارها بر ساختار جریان تأثیر می‌گذارد که این امر عامل اصلی اثرگذار بر ضریب انتقال حرارت جابه‌جایی درون مبدل است. گوت و پینتو [۵]، به ارائه یک الگوریتم بهینه‌سازی برای طراحی مبدل حرارتی صفحه‌ای پرداخت وتابع هدف در الگوریتم خود دستیابی به حداقل افت فشار قرار داد. لوان و همکارانش [۶]، یک نوع آرایش شیار برای صفحات مبدل ارائه کردند که در این نوع آرایش در هر دو نتایج آزمایشگاهی و تحلیل عددی نشان داد که مقاومت جریان برای سیال کاری آب نسبت به آرایش‌های تجاری موجود بیشتر ۵۰ درصد کاهش یافته و متناظر با آن میزان انتقال حرارت حدود ۲۰ درصد نیز کاهش یافته است. لونگو [۷]، در آزمایش تجربی خود با استفاده از چگالش مبرد HFC-134a در یک سمت از مبدل حرارتی، اثرات شار جرمی مبرد، دمای اشباع و ماقوو گرم بخار را مورد بررسی قرار داد. تیواری و همکارانش [۸]، در پژوهش خود به عملکرد انتقال حرارت درون مبدل‌های حرارتی صفحه‌ای با سیال کاری نانو (CeO<sub>2</sub>, Al<sub>2</sub>O<sub>3</sub>, CeO<sub>2</sub>) در شرایط دبی جرمی متغیر و طیف گستره‌های از غلظت سیال بررسی نمود. وی مشاهده کرد که استفاده از سیال آب و CeO<sub>2</sub> با غلظت کم در میان دیگر انواع نانو سیال سبب افزایش ۱۶ درصدی عملکرد مبدل می‌شود. مولی و منگلیک [۹]، در پژوهش خود که برای سیال تک فاز آب به آب انجام شد به محاسبه رابطه بین ضریب اصطکاک و عدد ناسلت برای محدوده زاویه شیارها  $60^\circ \leq \beta \leq 30^\circ$  و  $Re \geq 1000$  و  $Pr \leq 2$  پرداختند.

در مقاله حاضر برای اولین بار ایده استفاده از مبدل‌های حرارتی صفحه‌ای شیاردار جهت استثمار حرارتی سازه‌های امن مدفون مطرح شده و با استفاده از روابط تحلیلی و شبیه‌سازی‌های نرم‌افزاری مسئله در نرم‌افزار ASPEN تحلیل شده است. مقایسه نتایج با داده‌های تجربی سایر محققان طی یک مطالعه موردي، امکان‌پذیری دسترسی به اختلاف دمای لازم برای استثمار حرارتی سازه‌های امن توسط این روش اثبات شده است.

## ۱. مقدمه

کشورهای مختلف جهان از تأسیسات مستحکم برای پنهان‌سازی و حفاظت از رهبران سیاسی، فرماندهان ارشد نظامی و کارکنان بخش صنایع کلیدی، سلاح‌ها، مهمات، تجهیزات و سایر امکانات و فعالیت‌ها، استفاده می‌نمایند. وجود چنین تأسیساتی که هدف‌های سخت ژرفانه‌فت<sup>۱</sup> نامیده می‌شود، تهدیدی برای اهداف امنیت ملی کشور مقابل محسوب می‌گردد. این تأسیسات شامل پناهگاه‌های سخت در سطح زمین و تأسیسات زیرزمینی توپل‌دار می‌شود. به ویژه اینکه، اکثر تأسیسات فرماندهی و کنترل زیرزمینی و توپل‌های محل استقرار موشک‌ها، در عمق ۱۰۰ تا ۴۰۰ متری زیرزمین قرار دارند. تعداد کمی از این هدف‌ها در عمق ۵۰۰ یا حتی ۷۰۰ متری زیرزمین و در میان سنگ‌های آهکی و گرانیتی قرار دارند [۱]. اختفاء تأسیسات زیرزمینی می‌توانند نقش تعیین کننده‌ای در کارآمدی طرح‌های پدافند غیرعامل داشته باشد. نخستین گام در این جهت آگاهی از روش‌های شناسایی تأسیسات زیرزمینی و آگاهی از خصوصیات سلاح‌های نفوذگر است.

امروز یکی از سیاست‌های دفاعی کشور که تا حد زیادی اثر بازدارندگی نیز داشته و خشم دشمنان را برافروخته است، نمایش انبارهای موشکی زیرزمینی از رسانه‌های عمومی و آزمایش موشک‌های بالستیک بوده است. در چنین شرایطی دشمنان که توان نظالمی کشور را دائم رصد می‌کنند به کمک روش‌های سنجش از دور با استفاده از ماهواره‌ها یا پرنده‌های بدون سرنشین به دنبال شناسایی این انبارها و سایر فضاهای زیرزمینی حیاتی کشور هستند تا در صورت حمله در کوتاه‌ترین زمان بیشترین آسیب را تحمیل نمایند. بنابراین تحقیق در مورد راههای استثمار حرارتی این سازه‌ها در شرایط حساس کشور اهمیت و ضرورت فوق العاده‌ای دارد.

اختلاف دمای هوای خروجی از سازه امن مدفون با دمای محیط که در زمستان به بیش از ۴۵ درجه سلسیوس هم می‌رسد موجب شناسایی سریع این فضاهای توسط سنجنده‌های حرارتی می‌شود. در زمستان هوای گرم خروجی از سازه زیرزمینی موجب باز شدن برف در اطراف دهانه شده حتی با چشم غیر مسلح هم می‌توان این سازه‌ها را شناسایی کرد [۲]. بنابراین از الزامات اختفاء، عدم بالا رفتن دمای هوای خروجی سازه مدفون به دلیل فعالیت‌های درون سازه‌ای است. برای این منظور می‌توان از مبدل‌های حرارتی برای تهویه هوای درون سازه و همچنین ایجاد شرایط تعادل حرارتی با هوای روی سطح زمین استفاده کرد. این امر سبب اختفاء حرارتی سازه می‌شود. مبدل‌های حرارتی

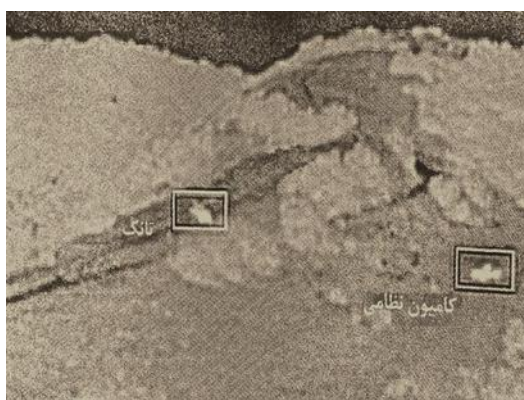
<sup>2</sup> Chevron Type

<sup>1</sup> Hard and Deeply Buried Targets (HDBT)

بوریس خطاهایی در حدود ۳ تا ۸ درجه سلسیوس را از خود نشان می‌دهد [۱۰]. منبع برآورد خطاهای ناشی از (الف) فرضیه‌های مورد استفاده جهت محاسبات معادلات چند پنجره‌ای، ب) تغییرات ناشناخته در گسیل‌مندی طیفی، تغییرات توابع پاسخ طیفی بین ماهواره‌ها و (ج) عدم انطباق میان مشاهدات زمینی و میدان دید ماهواره است. شکل (۱) یک دمانگاره از سنجنده حرارتی<sup>۵</sup> هواپی را نشان می‌دهد، در این تصویر یک تانک و یک کامیون نظامی قابل تشخیص است.

جدول ۱. معادلات مورد استفاده در برآورد دمای سطح [۱۰]

$T_s = 1/0.35T_f + 3/0.46(T_f - T_5) - 10.934$	Mc Clain
$T_s = T_f + 3/22(T_f - T_5)$	Price
$T_s = 1/274 + T_f + 2/83(T_f - T_5)$	Becker
$T_s = T_f + 2/45(T_f - T_5)$	Prata
$T_s = 1/0.6(T_f - T_5) - 0.46(T_f - T_5)^2$	Sobrino
$T_s = T_f + 1/8(T_f - T_5)$	Ulivieri



شکل ۱. تصویربرداری توسط سنجنده‌های FLIR هواپی [۱۱]

با توجه به اینکه سازه‌های زیرزمینی غالباً در مناطق کوهستانی احداث می‌شوند در صورتی که برای استثمار حرارتی آن‌ها تدبیری اندیشه‌یده نشود هوای گرم دهانه‌های تخیله‌ها بر فرشتۀ اطراف را ذوب کرده به راحتی و بدون استفاده از چشم مسلح، سازه مدفون را قابل شناسایی خواهد کرد. استثمار حرارتی این فضاهای می‌تواند به روش‌های مختلفی ایجاد شود. در مرجع [۱۲] به برخی از این روش‌ها از جمله مخلوط کردن هوای خروجی با هوای محیط، استفاده از پتوهای جاذب حرارت و مبدل‌های حرارتی صفحه‌ای اشاره شده است.

**مبدل حرارتی صفحه‌ای:** این نوع مبدل‌های حرارتی، از صفحات نازک که کانال‌های جریان را تشکیل می‌دهد، ساخته می‌شوند. جریان‌های سیال، توسط صفحات مسطح که یا به صورت صاف و

تحلیل سیگنال‌های مادون‌قرمز در سنجش از دور: به طور کلی می‌توان گفت پاسخ به این سؤال که سنجنده‌های حرارتی دشمن توانایی شناسایی چه میزان اختلاف دمای هوای خروجی سازه امن با محیط را دارند، بسیار مشکل است. چرا که اولاً این موضوع از اطلاعات سری قابلیت‌های تجهیزات ماهواره‌ای یا هوایی دشمن بوده و به راحتی در دسترس نیست و ثانیاً این امر به عوامل مختلفی از جمله ارتفاع سنجنده از زمین، شرایط جوی و... بستگی دارد. به هر حال در این قسمت به طور مختصر به معادلات گسیل‌مندی امواج مادون‌قرمز اشاره می‌شود.

انرژی تابشی آشکار شده توسط سنجنده‌های حرارتی، ترکیبی است از انرژی گسیلی از سطح زمین که از میان جو عبور می‌کند و انرژی که توسط جو گسیل می‌گردد. این جفت شدگی زمین – جو، سبب پیچیدگی تفسیر سیگنال سنجنده شده از راه دور می‌شود [۱۰]. باندهای حرارتی سنجنده‌های سنجش از دور، طول موج‌ها را در ناحیه پنجره‌ای طیف الکترومغناطیس، تقریباً بین ۸ تا ۱۴ میکرومتر قابل مشاهده می‌سازد.

بخش عمده تابندگی الکترومغناطیسی مشاهده شده ناشی از سطح زمین بوده در حالی که باقی سیگنال از جو زیر ۲ کیلومتر ناشی می‌شود. پروفایل بخار آب و دمای هوای دو تابندگی حرارتی را تحت تأثیر قرار می‌دهند. تقریباً ۸۰٪ انرژی دریافتی سنجنده‌های حرارتی، در ناحیه طول موجی ۱۰/۵-۱۲/۵ میکرومتر است که توسط سطح زمین گسیل می‌شود. بنابراین، دمای سطح، ساده‌ترین متغیری است که از سیگنال مادون‌قرمز حرارتی می‌توان استخراج کرد. تحقیقات بسیاری در برآورد دمای سطح زمین توسط سنجنده AVHRR انجام شده که رهیافت آن، موسوم به روش چند پنجره‌ای است. جهت تصحیح اثرات جوی دماهای سطح دریا و زمین، از تفاوت دمای درخشندگی استفاده شده است.

جدول (۱) معادلات چند پنجره‌ای توسط پژوهشگران را نشان می‌دهد. در این معادلات  $T_s$  دمای سطح زمین و  $T_5$  و  $T_4$  دماهای سنجش شده توسط کانال‌های ۴ و ۵ سنجنده است. مدل سایرینو<sup>۱</sup> به دلیل مرتبه دوم بودن و تغییرات غیر خطی اختلاف بین  $T_5$  و  $T_4$  از دقت بالای به نسبت دیگر مدل‌ها در محاسبه دمای سطح برخوردار است [۱۰].

مشاهدات سنجنده‌ها از سایتها فایف<sup>۲</sup>، هاپکس<sup>۳</sup>- ساحل<sup>۴</sup>، بوریس<sup>۵</sup> میزان خطای در سنجش را نشان می‌دهد. برای تمامی این حالات، با وجود استفاده از داده‌های ماهواره نوا-۱۱، نتایج سایت

<sup>1</sup> Sobrino

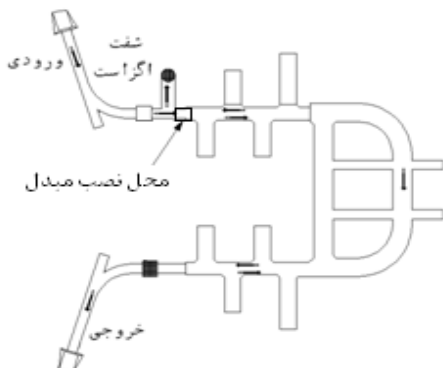
<sup>2</sup> Fife

<sup>3</sup> Hapex-Sahel

<sup>4</sup> Boreas

<sup>5</sup> Forward Looking Infrared

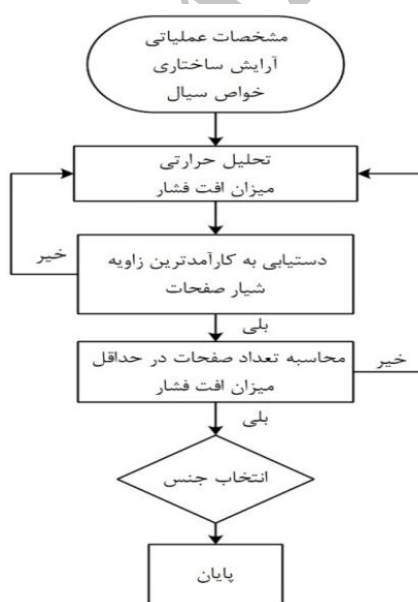
**۱-۲. الگوریتم تحلیل مبدل حرارتی**  
 طراحی مبدل حرارتی صفحه‌ای، شامل سه بخش اصلی تحلیل ترمودینامیکی، تحلیل سازه‌ای و بهینه‌سازی است. در بخش بهینه‌سازی، تعیین میزان شیار کارامد و مناسب با آن تعداد صفحات مورد نیاز برای کل مجموعه محاسبه خواهد شد [۱۴]. در روند حل تحلیلی برای طراحی مبدل حرارتی از دو کدنویسی برای بهینه‌سازی پارامترهای مهم از قبیل زاویه شیار و تعداد صفحات استفاده شده است. کدها بر پایه آزمون و خطا بنا شده است که در ادامه نتایج از حل تحلیلی مسئله مورد نظر به تفصیل ارائه می‌گردند.



شکل ۳. پلان سازه دفاعی زیرزمینی

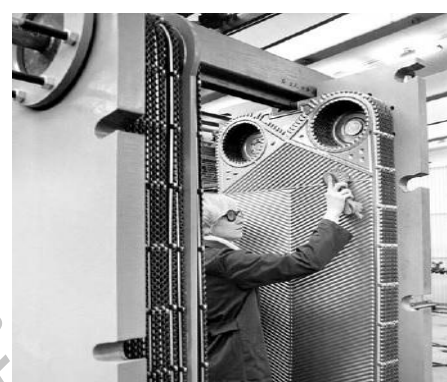
جدول ۲. خصوصیات عملکردی سیال گرم و سرد گذرنده از مبدل

سیال سرد (هوای)	سیال گرم (هوای)	خواص
۶/۱۷۷۸(kg/s)	۵/۶۱۶۱(kg/s)	دبي جرمی
-۲۰°C	۳۴/۸°C	دماهی ورودی
....	-۱۸°C	دماهی خروجی
۱/۰۰۴(KJ/kg.k)		ظرفیت گرمایی
۰/۰۰۰۱۷(kg/m.s)	۰/۰۰۰۱۹(kg/m.s)	گرانزوی



شکل ۴. الگوریتم روند تحلیل و بهینه‌سازی مبدل حرارتی

یا موجدار هستند، از هم جدا می‌شوند. مبدل‌های صفحه‌ای واشردار شکل (۲) شامل تعدادی از صفحات نازک با سطح چین‌دار یا موجدار است که سیال‌های گرم و سرد را از یکدیگر جدا می‌کنند. طراحی و واشریندی مناسب، امکان آن را ایجاد می‌کند که مجموعه‌ای از صفحات، توسط پیچ‌ها که از صفحات ابتدا و انتها نیز می‌گذرند، در کنار یکدیگر نگه داشته شوند. واشرها از نشتی به بیرون جلوگیری می‌کنند و سیال‌ها را در صفحات، به شکل مورد نظر، هدایت می‌نمایند [۱۳].



شکل ۲. مبدل حرارتی شیاردار برای جریان ناهمسو [۱۴]

## ۲. بیان مسئله

در شکل (۳) پلان یک نمونه سازه امن مدفون نشان داده شده است. کاربری این سازه انبار تجهیزات دفاعی و همچنین پناهگاه بوده و در اطراف تهران قرار دارد. پس از طراحی تأسیسات مکانیکی سازه، میزان هوای تازه مورد نیاز و در نتیجه هوای تخلیه از سازه ۱0000 cfm و دماهی داخل ۲۲ سلسیوس طراحی شده است. بنا بر سوابق آمار سازمان هواشناسی، در بیست سال گذشته دماهی سردترین روز محيط اقلیم منطقه به -۲۰ درجه سلسیوس رسیده است. با توجه به محیط کوهستانی و پوشش برف در زمستان، حرارت هوای خروجی از سازه در کanal تخلیه موجب ذوب برف در اطراف دهانه شده و با چشم غیر مسلح سازه شناسایی می‌شود.

با هدف استثمار حرارتی این سازه می‌بایست هوای خروجی از مبدل حرارتی صفحه‌ای حد اکثر به -۱۸ درجه سلسیوس برسد تا توسط سنجنده‌های حرارتی قابل سنجش و شناسایی نباشد. برای جبران افت فشار ناشی از مبدل و افت‌های استاتیکی و دینامیکی کanal و اتصالات به ناچار از فن افزایش فشار، دماهی سیال به ۳۴/۸ درجه شده و به واسطه این افزایش فشار، دماهی سیال به ۳۴/۸ درجه سلسیوس رسیده است. از طرف کاربر محدودیت ارتفاع در محل نصب مبدل ۲ متر اعلام شده و سایر شرایط کاری در جدول (۲) ارائه شده است. مطلوب مسئلله، مشخصات هندسی این مبدل شامل ابعاد، زاویه شیار، تعداد بهینه و جنس صفحات این مبدل است.

در معادله (۳)،  $h_c(w/m^2 \cdot ^\circ K)$  ضریب انتقال حرارت جابه‌جایی برای سیال گرم و سرد،  $t$  ضخامت صفحه و ضریب انتقال حرارت هدایتی صفحه است. ضریب انتقال حرارت جابه‌جایی برای سیال گرم و سرد از رابطه (۶) و (۷) محاسبه می‌شود. زیرنویس  $h$  و  $c$  مربوط به سیال گرم و سرد است.

$$Nu_h = \frac{h_{h,f} D_h}{k_{h,f}} \quad (6)$$

$$Nu_c = \frac{h_{c,f} D_h}{k_{c,f}} \quad (7)$$

برای محاسبه ضریب انتقال حرارت جابه‌جایی از روش کاکاک و لیو [۱۴]، ابتدا به محاسبه عدد ناسلت را برای مبدل حرارتی صفحه‌ای پرداخته می‌شود.

$$Nu = C_h \left( \frac{D_h G_c}{\mu} \right)^n \left( \frac{C_p \mu}{k} \right)^{\frac{1}{3}} \left( \frac{\mu}{\mu_w} \right)^{0.17} \quad (8)$$

که ضرایب ثابت  $C_h$  و  $n$  با توجه رژیم جریان و زاویه شیارها در جدول (۴) ارائه شده است. رژیم جریان به عدد رینولدز درون صفحات مبدل‌های صفحه‌ای وابسته است که از طریق سرعت جرمی سیال در کanal به دست می‌آید [۱۴].

$$G_c = \frac{\dot{m}}{N_{cp} b L_w} \quad (9)$$

$$Re = \frac{G_c D_h}{\mu} \quad (10)$$

که مقدار  $G_c$  سرعت جرمی کanal،  $N_{cp}$  تعداد کanal‌های درون یک گذر است، که مقدار آن برای سیال سرد و گرم مساوی است.

$$N_t = (n_p N_{cp})_c + (n_p N_{cp})_h + 1 \quad (11)$$

تعداد گذرگاه درون مدل است [۱۵]. میزان حرارت انتقالی کل، برای سیال گرم و سرد از رابطه زیر به دست می‌آید:

$$\dot{Q}_{h,f} = \dot{m}_h C_{p,h} (T_{h,in} - T_{h,out}) \quad (12)$$

$$\dot{Q}_{c,f} = \dot{m}_c C_{p,c} (T_{c,out} - T_{c,in}) \quad (13)$$

جدول ۴. ثابت‌های انتقال حرارت برای مبدل حرارت صفحه‌ای [۱۴]

$Re$	$C_h$	$n$	زاویه شیار (شیار)
$Re < 10$	۰/۷۱۸	۰/۳۴۹	$^\circ ۴۵$
$10 \leq Re \leq 100$	۰/۴۰۰	۰/۵۹۸	
$Re > 100$	۰/۳۰۰	۰/۶۶۸	

#### ۴-۲. سطح تبادل حرارت

شیارهای موجود در صفحات، سبب افزایش سطح انتقال حرارت به نسبت صفحات بدون شیار می‌شوند. نسبت طول توسعه یافته به طول را ضریب رشد سطح تعریف می‌کنند که به زبان ساده نسبت طول توسعه یافته به طول صفحه تخت است.

#### ۲-۲. فرضیات و محدودیت‌های مسئله

در تحلیل مبدل‌های حرارتی از فرضیاتی جهت ساده‌سازی فرمولاسیون استفاده می‌شود که شامل:

- عملکرد مبدل حرارتی در شرایط پایدار،
- انتقال حرارت به اطراف (محیط) ناچیز است،
- هیچ منبع تولید گرما در مبدل وجود ندارد،
- دمای محیط آرمايش ۲۵ درجه سلسیوس،
- مقاومت حرارتی در طول صفحات مبدل ثابت است.

با توجه به هدف مسئله طراحی مبدل حرارتی برای تونل‌های زیرزمینی، از این رو محدودیت‌های را به همراه دارد. پارامترهای هندسی صفحات طبق استاندارد ASME<sup>۱</sup> متعارف طراحی مبدل حرارتی صفحه‌ای انتخاب و در جدول (۳) ارائه شده است.

جدول ۳. پارامترهای هندسی در طراحی مبدل حرارتی

پارامتر	مقدار
محدودیت ارتفاع	$h_p \leq 2m$
ضخامت صفحه	$t = 0.6mm$
ضریب رشد سطح	$\phi = 1/20$
تعداد گذرگاه	$N_p = 1$
پارامتر توزیع جریان یکنواخت	$L_p/L_w \leq 1/8$

#### ۳-۲. نظریه انتقال حرارت در مبدل

قانون اول ترمودینامیک بیان می‌کند که انرژی نمی‌تواند خلق و یا نابود شود، بلکه تنها می‌تواند تغییر شکل دهد. بنابراین هر جزئی از انرژی در فرآیند باید در نظر گرفته شود. در یک مبدل حرارتی میزان انتقال حرارت بین سیال سرد و گرم به صورت رابطه (۱) و در حالت کلی به صورت رابطه (۲) نشان داده می‌شود: [۱۴].

$$Q_r = (\dot{m} C_p)_c \cdot (T_{c,2} - T_{c,1}) \quad (1)$$

$$= (\dot{m} C_p)_h \cdot (T_{h,2} - T_{h,1}) \quad (2)$$

$$\dot{Q} = UA\Delta T_{lm} \quad (3)$$

که در آن،  $U(w/m^2 \cdot ^\circ K)$  ضریب انتقال حرارت کلی از رابطه (۳) محاسبه می‌شود،  $A$  سطح مؤثر کل و  $\Delta T_{lm}$  اختلاف دمای میانگین لگاریتمی است که از رابطه (۴) برای جریان ناهم‌سو به دست می‌آید.

$$\frac{1}{U} = \frac{1}{h_h} + \frac{1}{h_c} + \frac{t}{k_w} \quad (3)$$

$$\Delta T_{lm} = \frac{(\Delta T_1 - \Delta T_\gamma)}{\ln(\Delta T_1 / \Delta T_\gamma)} \quad (4)$$

$$\Delta T_{lm} = \quad (5)$$

$$\frac{((T_{h,f,in} - T_{c,f,out}) - (T_{h,f,out} - T_{c,f,in}))}{\ln\left(\frac{(T_{h,f,in} - T_{c,f,out})}{(T_{h,f,out} - T_{c,f,in})}\right)}$$

<sup>۱</sup> American Society of Mechanical Engineers

$$G_p = \frac{4\dot{m}}{\pi D_p^2} \quad (20)$$

درنهایت افت فشار کلی مجموعه حاصل مجموع افت در کانال و مثرا است.

$$\Delta P_t = \Delta P_c + \Delta P_p \quad (21)$$

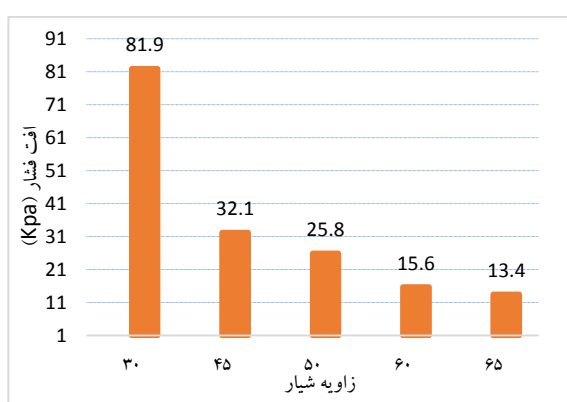
جدول ۵. ثابت‌های افت فشار برای مبدل حرارت صفحه‌ای [۱۳]

$Re$	$k_p$	$m$	زاویه شیار
$Re < 10$	۴۷/۰۰	۱/۰۰۰	
$10 \leq Re \leq 100$	۱۸/۲۹	۰/۶۵۲	$^{\circ}45$
$Re > 100$	۱/۴۴۱	۰/۲۰۶	

### ۳. تحلیل مبدل صفحه‌ای شیاردار

#### ۳-۱. بهینه‌سازی شیار

در این پژوهش با استفاده از کدنویسی در نرم‌افزار متلب، به بهینه‌سازی شیارها در شرایط عملکردی یکسان پرداخته شده است. هدف، دستیابی به میزان ضریب انتقال حرارت بالا در افت فشار کم است. نتایج کدنویسی با استفاده از روابط تحلیلی نشان می‌دهد که میزان انتقال حرارت و مناسب با آن افت فشار درون مبدل در زاویه شیار  $45^{\circ}$  درجه به نسبت دیگر زوایا در شرایط بهینه قرار دارد. شکل‌های (۶) و (۷) که از حل تحلیلی به دست آمده نشان می‌دهد، میزان انتقال حرارت و افت فشار، با افزایش زاویه شیارها کاهش می‌یابد. این امر به دلیل ایجاد ورتکس و جریان چرخشی میان دو صفحه است که باعث کاهش ضریب انتقال حرارت و مناسب با آن میزان عدد ناسلت شده و افت فشار نیز کاهش می‌یابد. برای تأمین میزان انتقال حرارت مشخص درون مبدل می‌باشد سطوح تبادلی را افزایش داد که این امر نیز سبب افزایش افت فشار سیال درون صفحات و همین طور افزایش هزینه ساخت صفحات خواهد شد.



شکل ۶. اثر تغییر زاویه شیار بر میزان افت فشار

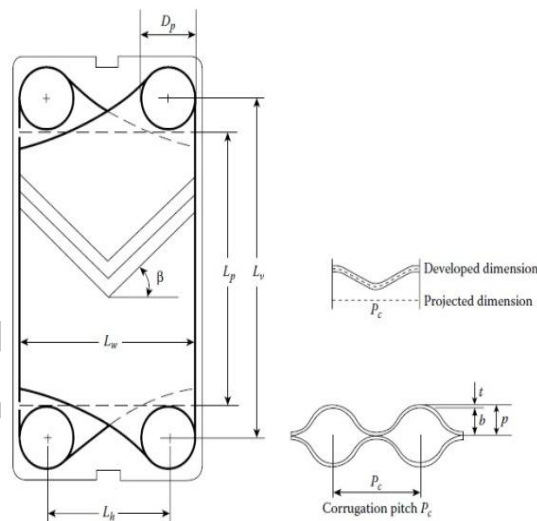
$$\emptyset = \frac{A_1}{A_p} \quad (14)$$

$$A_{1p} = L_p \times L_w \quad (15)$$

$A_1$  سطح کلی مورد نیاز برای تبادل حرارت،  $A_{1p}$  سطح مورد نیاز به همراه شیار،  $L_p$  طول مؤثر افقی صفحه و  $L_w$  میزان عرض صفحه است. مقدار طول مؤثر افقی از تفریق طول افقی کلی از قطر مثرا به دست می‌آید [۱۶].

$$L_p = L_v - D_p \quad (16)$$

در شکل (۵) پارامترهای مورد نیاز طراحی یک صفحه از مبدل صفحه‌ای شیاردار به صورت شماتیک نشان داده شده است.



شکل ۵. شماتیک پارامترهای طراحی یک صفحه از مبدل [۱۶]

#### ۳-۲. افت فشار

افت فشار در مجموعه مبدل حرارتی صفحه‌ای، متشکل از افت فشار کانال و افت فشار مثرا است. افت فشار در کانال و  $\Delta P_c$  افت فشار در مثرا است و برای محاسبه آن ابتدا می‌باشد به تعریف ضریب اصطکاک پرداخت که این ضریب همانند عدد ناسلت به دو پارامتر زاویه شیارها و رزیم جریان وابسته است [۱۶].

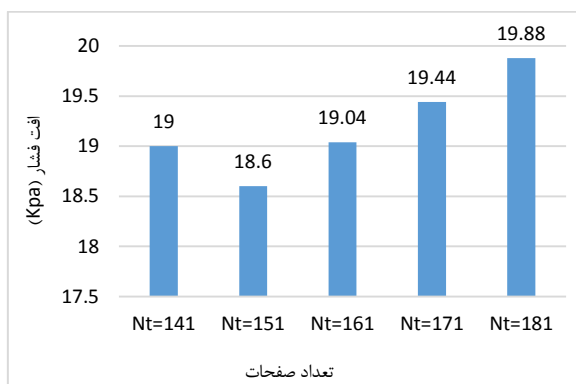
$$f = \frac{k_p}{Re^m} \quad (17)$$

مقدار  $m$  از روابط تجربی بدست می‌آید که در جدول (۵) ارائه شده است.

$$\Delta P_c = 4f \frac{L_{eff} N_p}{D_h} \cdot \frac{G_c^2}{2\rho} \left( \frac{\mu_b}{\mu_w} \right)^{-0.17} \quad (18)$$

$$\Delta P_p = 1.4 N_p \frac{G_c^2}{2\rho} \quad (19)$$

افت فشار درون مثرا، تقریباً  $1/4$  هد سرعت تخمین زده می‌شود. می‌باشد دقت داشت که  $G_p$  سرعت دبی جرمی در مثرا بوده که به صورت زیر محاسبه می‌شود:



شکل ۶. اثر تعداد صفحات مبدل بر افت فشار سیال گرم

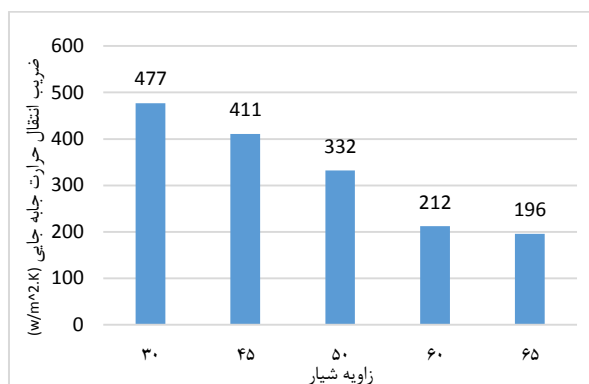
طبق الگوریتم شکل (۴)، در گام آخر پس از بهینه‌سازی‌های صورت گرفته با استفاده از روابط (۲-۱۶) تحلیل حرارتی، سطح مورد نیاز برای تبادل حرارتی و ابعاد صفحات محاسبه شده است. مشخصات ابعادی و تعداد صفحات برای مبدل در جدول (۶) ارائه شده است.

جدول ۶. مشخصات ابعادی صفحات مبدل

مقدار	پارامتر
$364/67\left(m^3\right)$	سطح مؤثر
$2/29\left(m^3\right)$	تک صفحه صاف
$1/91\left(m^3\right)$	تک صفحه با شیار
$1/1(m)$	عرض صفحه
$0/200(m)$	قطر مجراء
$0/580(m)$	طول مبدل فشرده
۱۶۱	تعداد صفحات

### ۳-۳. تحلیل سازه‌ای

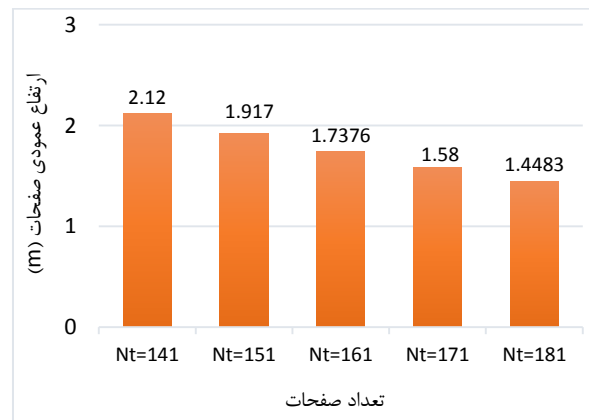
جنس صفحات مبدل حرارتی به صورت یک مقاومت حرارتی در تحلیل اثر می‌گذارد که به ضخامت و میزان ضریب هدایتی ماده بستگی دارد. انتخاب صحیح جنس صفحات سبب استحکام صفحات در برابر تحمل تنش‌های حرارتی و مکانیکی می‌شود. در این بررسی برای پنج ماده مختلف میزان تغییر ضریب انتقال حرارت کل و سطح مورد نیاز در شرایط رسیدن به انتقال حرارت کل ثابت محاسبه شده است. رابطه (۳) تأثیر جنس صفحات در مقاومت حرارتی نشان می‌دهد. در مقایسه به عمل آمده، تمامی شرایط عملکردی و هندسه صفحات، ثابت فرض شده و روند تحلیلی با تغییر در جنس صفحات تکرار شده و میزان کاهش و افزایش سطح کل تبادلی مورد بررسی قرار گرفته شده است. میزان سطح تبادلی جدید از رابطه (۲) به دست می‌آید. نتایج جدول (۷) نشان می‌دهد که تغییر جنس صفحات اثر چندانی در سطح مورد نیاز برای انتقال حرارت نداشته است و این امر حاکی از سهم بالای انتقال حرارت به صورت جایه‌جایی به نسبت هدایتی



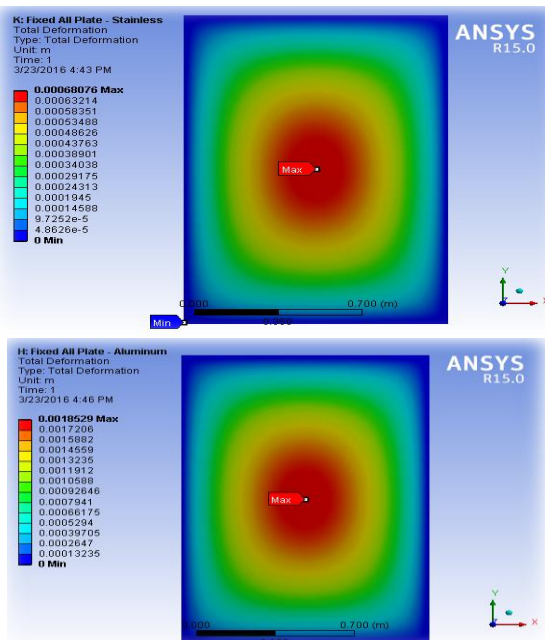
شکل ۷. اثر زاویه شیار بر میزان ضریب انتقال حرارت جایه‌جایی

### ۲-۳. بهینه‌سازی تعداد صفحات

هندسه صفحات مبدل حرارتی و تعداد صفحات در شرایط کارآمد، پس از انتخاب زاویه شیار مناسب از حل معادلات روابط ترمودینامیکی و افت فشار به دست می‌آید. با توجه به اینکه این مبدل در سقف سازه امن مدفون در سقف توپل دسترسی ورودی نصب می‌شود، افزایش ارتفاع مبدل برای عبور و مرور خودروها مشکل ایجاد خواهد کرد. برای این مبدل محدودیت ارتفاع ۲ متر در نظر گرفته شده است. همان‌طور که در نمودار به دست آمده (شکل (۸)) نشان داده شده است، اگر تعداد صفحات کل ۱۶۱ صفحه باشد، ارتفاع صفحات از نظر محدودیت ارتفاعی در حالت مناسب قرار دارد. در حالت ۱۷۱ صفحه، ارتفاع صفحات  $0/15$  متر، کاهش ارتفاع داشته و همانطور که در شکل (۹) نشان داده شده است میزان افت فشار درون مجموعه نیز بیشتر از نسبت ۱۶۱ صفحه است که به دلیل افزایش تعداد صفحات است. افزایش تعداد صفحات علاوه بر افزایش میزان افت در مجموعه، هزینه‌های جانبی ساخت، تعمیر و نگهداری را بالا خواهد برد. بنابراین هدف این تحلیل دستیابی به حالت بهینه طراحی یعنی بیشترین انتقال حرارت و کمترین افت فشار است.



شکل ۸. اثر تعداد صفحات مبدل بر طول عمودی صفحه

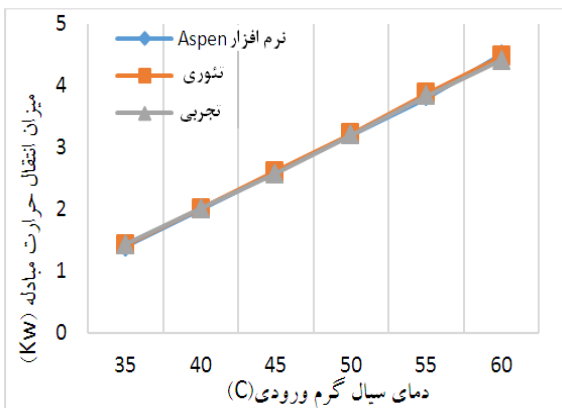


شکل ۱۱. میزان تغییر شکل تحت اثر گذر سیال بر روی صفحه از جنس فولاد ضد زنگ و آلومینیوم

#### ۴. شبیه‌سازی مبدل

##### ۴-۱- اعتبارسنجی نرم‌افزار

مبدل حرارتی صفحه‌ای، به دست آمده از حل تحلیلی در این بخش با استفاده از نرم‌افزار ASPEN شبیه‌سازی شده است. این نرم‌افزار با توجه به قابلیت‌های در شبیه‌سازی فرآیندهای صنعتی دارد یکی از معترض‌ترین شبیه‌ساز مبدل‌های حرارتی است. در گام اعتبارسنجی نرم‌افزار، یک مدل آزمایشگاهی [۱۷] توسط نرم‌افزار شبیه‌سازی شده است. شکل (۱۲) نشان می‌دهد در شرایط یکسان از نظر هندسی و کاری، میزان انتقال حرارت میان مدل آزمایشگاهی و مدل شبیه‌سازی شده از دقت بسیار مطلوبی برخوردار است.



شکل ۱۲. انتقال حرارت جریان در دمای سیال گرم متفاوت و دبی جرمی سیال سرد ( $m_c = 0.0416 \text{ kg/s}$ )

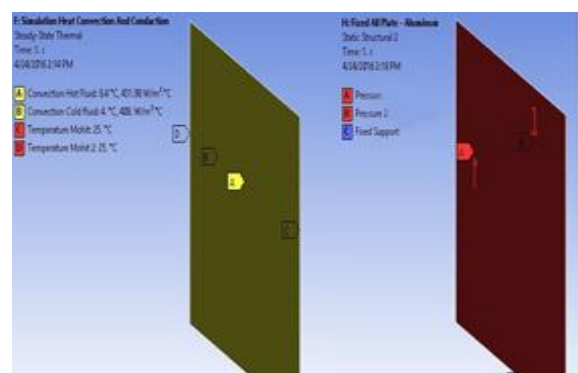
است. انتخاب صفحات از جنس آلومینیوم و فولاد ضد زنگ به علت نرخ بهای کمتر مناسب است. در ادامه دو جنس صفحات از نظر تحلیل مقاومت در برابر شرایط فرآیندی مورد آنالیز قرار گرفته شده است. در این تحلیل ابتدا یک صفحه صاف با ابعاد جدول (۶) مورد تحلیل حرارتی و سیالاتی توسط نرم‌افزار ANSYS قرار گرفته است. شرایط مرزی و بارگذاری روی صفحات به گونه‌ای است که صفحه در راستای ضخامت، ثابت شده است و سطح جلوی و پشتی آن تحت گذر سیال است و در سطح صفحات اثرات ضریب جابه‌جایی سیال و هدایت در صفحات در تحلیل لحاظ شده است. شکل (۱۰) شماتیک شرایط مرزی را در محیط نرم‌افزار نشان می‌دهد. در این تحلیل، استحکام دو ماده آلومینیوم و فولاد ضد زنگ گرید ۳۰۴ مورد آنالیز قرار گرفته است. مشاهدات به دست آمده از تحلیلگر نرم‌افزار، شکل (۱۱) نشان می‌دهد که در شرایط یکسان فولاد ضد زنگ نسبت به آلومینیوم در برابر تغییر شکل مقاومت بیشتری را تحمل می‌کند.

جدول ۷. اثر جنس در ضریب انتقال حرارت کل و سطح مؤثر

سطح مؤثر	ضریب انتقال حرارت کل ( $w/m^2 \cdot ^\circ K$ )	ضریب هدایتی ( $w/m \cdot ^\circ K$ )	ماده
۳۶۴/۶۷	۲۰۸/۱۲	۱۵/۵	فولاد
۳۶۱/۸۹	۲۰۹/۷۵	۴۰۰	مس
۳۶۲/۰۰	۲۰۹/۶۷	۲۰۵	آلومینیوم
۳۶۲/۶۸	۲۰۹/۵۳	۹۱	نیکل
۳۶۳/۵۸	۲۰۸/۶۳	۲۲	تیتانیوم

جدول ۸. مشخصات شبکه‌بندی روی صفحه

Dominat Hexa	نوع المان
۷۱۸۱۰۹	تعداد گره
۱۵۰۰۰	تعداد المان
سازمان یافته	نوع شبکه

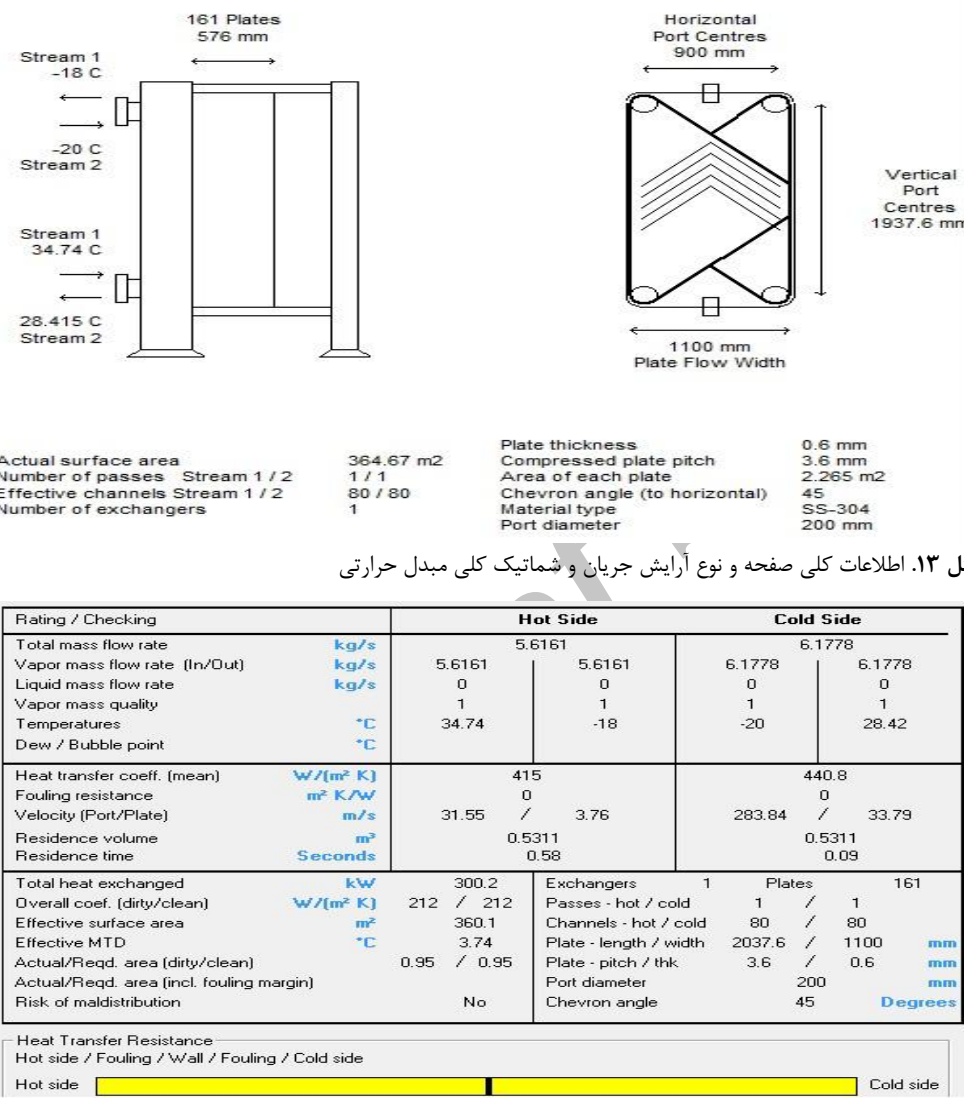


شکل ۱۰. نحوه تنظیم شرایط مرزی در محیط نرم‌افزار ANSYS

صفحه و مبدل حرارتی طراحی به دست آمده در شکل (۱۳) نشان داده شده است. نتایج تحلیل ترمودینامیکی انجام شده توسط نرم‌افزار در شکل (۱۴) و جدول (۹) ارائه شده است.

#### ۲-۴. شبیه‌سازی مدل تحلیلی

اطلاعات هندسی صفحات و شرایط عملکردی مبدل با توجه به نتایج به دست آمده در بخش‌های گذشته توسط نرم‌افزار شبیه‌سازی مبدل حرارتی صفحه‌ای مدل‌سازی شده و شماتیک



شکل ۱۳. اطلاعات کلی صفحه و نوع آرایش جریان و شماتیک کلی مبدل حرارتی

Rating / Checking		Hot Side		Cold Side	
Total mass flow rate Vapor mass flow rate (In/Out)	kg/s kg/s	5.6161	5.6161	6.1778	6.1778
Liquid mass flow rate	kg/s	0	0	0	0
Vapor mass quality		1	1	1	1
Temperatures	*C *C	34.74	-18	-20	28.42
Dew / Bubble point					
Heat transfer coeff. (mean)	W/(m <sup>2</sup> K)	415		440.8	
Fouling resistance	m <sup>2</sup> K/W	0		0	
Velocity (Port/Plate)	m/s	31.55	/ 3.76	283.84	/ 33.79
Residence volume	m <sup>3</sup>	0.5311		0.5311	
Residence time	Seconds	0.58		0.09	
Total heat exchanged	kW	300.2		Exchangers	1
Overall coef. (dirty/clean)	W/(m <sup>2</sup> K)	212 / 212		Plates	161
Effective surface area	m <sup>2</sup>	360.1		Passes - hot / cold	1 / 1
Effective MTD	*C	3.74		Channels - hot / cold	80 / 80
Actual/Reqd. area (dirty/clean)		0.95 / 0.95		Plate - length / width	2037.6 / 1100 mm
Actual/Reqd. area (incl. fouling margin)				Plate - pitch / thk	3.6 / 0.6 mm
Risk of maldistribution		No		Port diameter	200 mm
				Chevron angle	45 Degrees
Heat Transfer Resistance					
Hot side / Fouling / Wall / Fouling / Cold side					
Hot side					
Cold side					

شکل ۱۴. اطلاعات خروجی از نرم‌افزار شبیه‌سازی مبدل حرارتی

جدول ۹. مقایسه نتایج جریان برای سیال سرد و گرم در حالت تحلیلی و شبیه‌سازی

نرم‌افزاری	تحلیلی			
سیال سرد (هوای)	سیال گرم (هوای)	سیال گرم (هوای)	سیال سرد (هوای)	
۳۰۰/۲(KJ/s)		۲۹۷/۷۲(KJ/s)		حرارت تبادلی
۲۸/۴۲	-۱۸°C	۲۷/۹۹°C	-۱۸°C	دمای خروجی
۳/۷۴°C		۳/۹۲۲۵°C		دمای لگاریتمی
۳°C		۳°C		دمای سطح صفحات
۶۶۶۶/۲۴	۵۴۲۵/۹۸	۶۸۸۲/۶	۵۵۹۸/۲	رنینولدز جریان
۴۴۰/۸(w/m <sup>۲</sup> . °K)	۴۱۵(w/m <sup>۲</sup> . °K)	۴۳۱/۹۸(w/m <sup>۲</sup> . °K)	۴۰۸(w/m <sup>۲</sup> . °K)	ضریب انتقال جابه‌جایی
۲۱۲(w/m <sup>۲</sup> . °K)		۲۰۸/۱۲(w/m <sup>۲</sup> . °K)		ضریب انتقال حرارت کلی

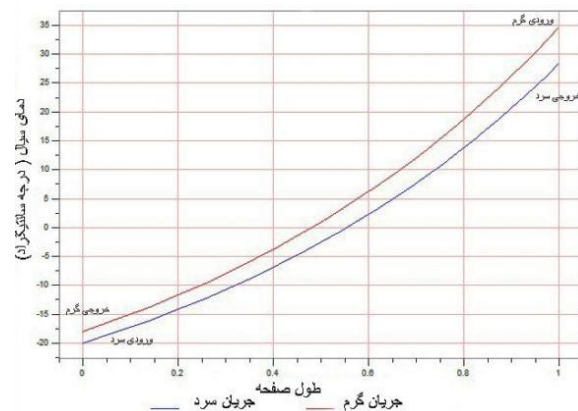
شناسایی نیست. در این مقاله با هدف استتار حرارتی یا حداقل مشکل کردن شناسایی سازه امن مدفون توسط این سامانه‌ها، ایده استفاده از مبدل حرارتی صفحه‌ای جهت هم‌دما سازی هوای اگزاست سازه امن با محیط خارج مطرح و یک نمونه مبدل صفحه‌ای شیاردار تحلیل و طراحی شده است. برای این منظور با کدنویسی در نرم‌افزار متلب میزان و زاویه شیار و تعداد صفحات بهینه برای مبدل صفحه‌ای شیاردار تعیین شده است. سپس با در نظر گرفتن محدودیت ارتفاع مبدل در سازه‌های زیرزمینی، مشخصات هندسی صفحات مورد نیاز به روش تحلیلی محاسبه شده است. در ادامه تأثیر جنس صفحات بر میزان انتقال حرارت و مقاومت در برابر تغییر شکل نیز توسط نرم‌افزار ANSYS بررسی شده است. درنهایت اطلاعات هندسی به دست آمده از حل تحلیلی، در نرم‌افزار ASPEN شیوه‌سازی و تحلیل شد. نتایج بهینه‌سازی در شرایط کاری مدنظر نشان می‌دهد که در زاویه ۴۵ درجه و تعداد صفحات ۱۶۱ عدد، میزان انتقال حرارت و افت فشار مطلوبی در مقایسه با سایر حالات دارد، تحلیل سازه‌ای در نرم‌افزار ANSYS نشان داد که تغییر در جنس صفحات یا ضریب هدایتی مواد، اثر چندانی بر میزان سطح تبادل حرارتی مورد نیاز نخواهد داشت. علت این امر ناچیز بودن سهم انتقال حرارت هدایت نسبت به جابجایی است. بنابراین جهت کاهش هزینه و تغییر شکل و همچنین افزایش استحکام، جنس صفحات از فولاد ضد زنگ گرید ۳۰۴ انتخاب شده است. دمای سیال خروجی از سازه دارای اختلاف دمای ۲ درجه‌ای با محیط خارج است، که این امر کارآمدی به کارگیری مبدل حرارتی صفحه‌ای را در استتار حرارتی اثبات می‌کند. شیوه‌سازی و تحلیل در مورد یک مطالعه موردي خاص انجام گرفته است ولی با توجه به نتایج حاصله، این روش جهت استتار حرارتی انواع سازه‌های امن مدفون قابل کاربرد است.

## ۶. مراجع

- [1] Sepp, E. M.; USAF, L. C. "Deeply Buried Facilities Implications for Military Operations"; Oxford University Press: Oxford, 2000.
- [2] Radmard, H.; Sharifi, A.; Kheyrandish, M. "Temperature Equalization of Exhaust Air of Buried Safe Structures in order to Thermal Camouflage"; Proc. 4<sup>th</sup> Int. Conf. on Sci. Defence and Eng. 2016 (In Persian).
- [3] Galeazzo, F. "Experimental and Numerical Heat Transfer in a Plate Heat Exchanger"; J. Chem. Eng. Sci. 2006, 61, 7133-7138.
- [4] Foke, W. "The Effect of the Corrugation Inclination Angle on the Thermal Hydraulic Performance of Plate Heat Exchanger"; J. Heat Mass Transfer 1985, 28, 1479-1469.
- [5] Gut, J.; Pinto, G. "Optimal Configuration Design for Plate Heat Exchanger"; J. Heat Mass Transfer 2004, 47, 4833-4848.

مقایسه نتایج از نظر میزان انتقال حرارت تبادلی، سطح مؤثر و ضریب انتقال حرارت کلی در مدل سازی نرم‌افزاری و تحلیلی در شرایط هندسی یکسان، دقت بالای تحلیل و مدل را اثبات می‌کند. در آنالیز دمای به عمل آمده برای سیال در روند تحلیلی و شبیه‌سازی نشان می‌دهد که میزان اختلاف دمای خروجی سیال سرد ۰/۴ درجه سلسیوس است. حال با توجه دمای سیال گرم در لحظه خروج از مبدل و ارضاء شدن محدودیت اختلاف دمای ۲ تا ۸ درجه سلسیوس بین محیط و سیال خروجی که توسط سنجنده‌های دشمن قابل شناسایی است، می‌توان گفت که این روند تحلیل و آنالیز شبیه‌سازی توسط نرم‌افزار از دقت بالای برخوردار است و در شرایط کاری متفاوت با مدل تحلیلی در این مقاله، کافی است در کد تحلیلی شرایط کاری مد نظر وارد شود ابعاد هندسی مبدل به دست آمده را برای تهیه و یا ساخت مبدل به کار گرفت.

جريان گذرنده در مبدل طراحی شده از نوع ناهمسو است که این امر سبب دستیابی به دمایهای بالاتری به نسبت دمای سیال گرم خروجی است در حالی که در جريان همسو همیشه به دمایهای کمتر از جريان سیال گرم خروجی می‌توان دست یافت. شکل (۱۵) تغییرات سیال سرد و گرم را برای جريان ناهمسو در طول مبدل نشان می‌دهد.



شکل ۱۵. تغییرات دمای سیال گرم و سرد در طول صفحه مبدل

## ۵. نتیجه‌گیری

امروزه یکی از تهدیدات کشور، سامانه‌های سنجش از دور دشمن و شناسایی سازه‌های امن مدفون است. سنجش از دور هوایی و ماهواره‌ای از طریق به کارگیری حسگرهای ثبت تابش الکترومغناطیسی بازتاب یافته از اشیاء در سطح زمین یا کانال‌های خروجی هوای سازه امن مدفون، سازه را قابل شناسایی خواهد کرد. با بررسی‌های به عمل آمده اختلاف دمای حدود ۲ تا ۸ درجه سلسیوس اشیاء با محیط اطراف برای این حسگرهای قابل

- [12] Radmard, H.; Kheirandish, M. R. "Consideration of Designing the Ventilation of Defensive Underground Spaces"; *Passive Defense* 2014, 5, 61-71 (In Persian).
- [13] Kandikar, S. G.; Shah, R. K. "Multi-Pass Plate Heat Exchangers-Effectiveness-NTU Result and Guidelines for Selecting Pass Arrangement"; *J. Heat. Transfer* 1987, 111, 300-313.
- [14] Kakac, S.; Liu, H. "Selection Rating and Thermal Design Heat Exchanger"; 3<sup>rd</sup> Ed., 2012, 490-451.
- [15] Cengel, Y.; Boles, M. "Thermodynamics an Engineering Approach"; 4<sup>th</sup> Ed., McGraw-Hill, 2006.
- [16] Shah, R.; Sekulic, P. D. "Fundamentals of Heat Exchanger Design"; Wiley, India 2003.
- [17] Sharifi, A.; Radmard, H. "Theoretical and Experimental Heat Transfer Analyses of Plate Heat Exchanger and Simulation with ASPEN Software"; *Proc. Int. Conf. on Mechanical and Aerospace Eng.* 2016 (In Persian).
- [6] Luan, Z.; Zhang, G. "Flow Resistance and Heat Transfer Characteristics of a New-Type Heat Exchanger"; *J. Hydro.* 2008, 20, 524-529.
- [7] Longo, G. "Refrigerant R134a Condensation Heat Transfer and Pressure Drop inside a Small Brazed Plate Heat Exchanger"; *Int. J. Refrig.* 2008, 31, 789-780.
- [8] Tiwari, A. "Performance Comparison of the Plate Heat Exchanger Using Different Nano Fluids"; *J. Exp. Therm. Fluid. Sci.* 2013, 49, 141-151.
- [9] Muley, A.; Manglik, R. M. "Experimental Study of Turbulent Flow Heat Transfer and Pressure Drop in a Plate Heat Exchanger with Chevron Plates"; *J. Heat. Transfer* 1999, 121, 110-117.
- [10] Majidi, D. "Thermal Remote Sensing in Land Surface Processes"; Imam Hossein University Press, 2004 (In Persian).
- [11] Khazaie, S. "Basics of Remote Sensing with a View to Identifying and Espial"; Imam Hossein University Press, 2009 (In Persian).